

## 空心莲子草中三萜皂苷类化学成分的研究

郭庆兰<sup>1</sup>, 李彬<sup>1</sup>, 李建<sup>2</sup>, 李晶晶<sup>1</sup>, 夏丽颖<sup>1</sup>, 董俊兴<sup>1\*</sup>

(1. 军事医学科学院放射与辐射医学研究所, 北京 100850; 2. 防化指挥工程学院, 北京 102205)

**摘要:** 为了研究苋科植物空心莲子草 [*Alternanthera philoxeroides* (Mart.) Griseb] 抗病毒活性的物质基础, 对其化学成分进行了研究。本文主要报道从空心莲子草正丁醇部位分离得到的 5 个三萜皂苷类化合物, 经图谱分析, 结构分别鉴定为: 3-O-β-D-吡喃葡萄糖 (1→3)-O-[β-D-吡喃葡萄糖]-齐墩果酸-28-O-β-D-葡萄糖醛酸苷 (**1**)、齐墩果酸-3-O-β-D-吡喃葡萄糖醛酸苷 (**2**)、齐墩果酸-3-O-β-D-吡喃葡萄糖醛酸-28-O-β-D-吡喃葡萄糖苷 (竹节参苷 IVa, **3**)、3-O-β-D-吡喃葡萄糖醛酸丁酯-齐墩果酸-28-O-β-D-吡喃葡萄糖苷 (**4**) 和 3-O-β-D-吡喃葡萄糖醛酸-常春藤皂苷 K (尼泊尔常春藤皂苷 K, **5**), 其中化合物 **1** 为新化合物, 化合物 **4** 和 **5** 为首次从该植物中分离得到。

**关键词:** 空心莲子草; 三萜皂苷类; 化学成分

中图分类号: R284.1

文献标识码: A

文章编号: 0513-4870 (2011) 04-0428-04

## Triterpenoid saponins of *Alternanthera philoxeroides* (Mart.) Griseb

GUO Qing-lan<sup>1</sup>, LI Bin<sup>1</sup>, LI Jian<sup>2</sup>, LI Jing-jing<sup>1</sup>, XIA Li-ying<sup>1</sup>, DONG Jun-xing<sup>1\*</sup>

(1. Beijing Institute of Radiation Medicine, Beijing 100850, China; 2. Institute of Chemical Defence, Beijing 102205, China)

**Abstract:** In order to find the anti-virus constituents of *Alternanthera philoxeroides* (Mart.) Griseb, the investigation was carried out. The paper reported the five triterpenoid saponins isolated from *n*-BuOH fraction: 3-O-β-D-glucopyranosyl (1→3)-O-[β-D-glucopyranosyl-oleanolic acid]-28-O-β-D-glucuronopyranoside (**1**), oleanolic acid-3-O-β-D-glucuronopyranoside (calenduloside E, **2**), oleanolic acid-3-O-β-D-glucopyranosyl-28-O-β-D-glucopyranosyl ester (chikusetsusaponin-IVa, **3**), 3-O-(6'-O-butyl-β-D-glucuronopyranosyl)-oleanolic acid-28-O-β-D-glucopyranosyl ester (**4**) and hederagenin-3-O-β-D-glucuronopyranoside (HN-saponins K, **5**). Saponin **1** is a new compound, saponins **4** and **5** were isolated from the plant for the first time.

**Key words:** *Alternanthera philoxeroides* (Mart.) Griseb; triterpenoid saponin; chemical constituent

空心莲子草 [*Alternanthera philoxeroides* (Mart.) Griseb.] 又名水花生、螃蜞菊、空心苋、喜旱莲子草, 为苋科莲子草属多年生草本植物, 在我国的华东、华中、华南和西南等地区均有分布。现代药理实验证明, 空心莲子草提取物具有抗流行性出血热病毒、流感病毒、乙肝病毒、狂犬病毒、疱疹病毒等多种病毒的作用<sup>[1]</sup>。另外, 1985 年以来, 空心莲子草已经成为我国杂草防治中的重点目标之一, 名列 2003 年国家环境保护总局公布的“中国第一批外来入侵物种名

单”。因此, 为了研究其抗病毒的有效成分, 将“杂草”药用, 作者从空心莲子草的正丁醇部位提取分离并鉴定了 5 个三萜皂苷类化合物, 其中化合物 **1** 为新化合物, 化合物 **4** 和 **5** 为首次从该植物中分离得到。

化合物 **1** 灰白色粉末, 熔点 249~251 °C, Liebermann-Burchard, Salkowski 以及 Molish 反应均为阳性, 因此推测该化合物可能为三萜皂苷类化合物。HR-ESI-MS (-) *m/z*: 955.491 62 [M-H]<sup>-</sup> (计算值为 955.490 80), 确定该化合物的分子式为 C<sub>48</sub>H<sub>76</sub>O<sub>19</sub>。

<sup>1</sup>H NMR (C<sub>5</sub>D<sub>5</sub>N, 600 MHz) 在 δ 0.80 (3H, s)、0.85 (3H, s)、0.89 (3H, s)、1.01 (3H, s)、1.08 (3H, s)、1.22

收稿日期: 2010-11-08.

\*通讯作者 Tel: 86-10-66931314, Fax: 86-10-68164257,  
E-mail: Dongjx@vip.sina.com

(3H, s) 和 1.26 (3H, s) 处为三萜类化合物的 7 个特征角甲基信号,  $\delta$  5.47 (1H, br s) 提示该化合物为不饱和三萜类化合物。另外, 在  $\delta$  4.80 (1H,  $J = 7.2$  Hz)、 $\delta$  5.32 (1H,  $J = 7.2$  Hz) 和  $\delta$  6.28 (1H,  $J = 7.8$  Hz) 为 3 个糖的端基氢信号, 根据其耦合常数推断 3 个糖均为  $\beta$  构型。

$^{13}\text{C}$  NMR ( $\text{C}_5\text{D}_5\text{N}$ , 600 MHz) 上显示 48 个碳信号, 与  $^1\text{H}$  NMR ( $\text{C}_5\text{D}_5\text{N}$ , 600 MHz) 对应,  $\delta$  15.8、17.0、17.7、23.9、26.4、28.5、33.4 分别为 7 个角甲基,  $\delta$  123.1 和 144.4 为一组双键的碳信号,  $\delta$  176.9 和 177.4 为两个羧基的碳信号。 $\delta$  96.0、105.1、105.6 为 3 个糖的端基碳。经酸水解, 将水解产物与标准品 TLC 对照, 确定该化合物连接的糖的类型为  $\beta$ -葡萄糖和  $\beta$ -葡萄糖醛酸。

结合 HMBC 谱, 碳信号  $\delta$  123.1 与  $\delta$  3.18 (1H, dd,  $J = 12.8, 4.0$  Hz) 具有远程相关,  $\delta$  144.4 同时与  $\delta$  3.18 (1H, dd,  $J = 12.8, 4.0$  Hz) 和 1.08 (1H, s) 具有远程相关, 推出该化合物为  $\Delta^{12}$ -不饱和三萜类化合物。羧基碳信号  $\delta$  176.9 与  $\delta$  3.18 (1H, dd,  $J = 12.8, 4.0$  Hz) 具有远程相关, 提示该化合物的母核为齐墩果酸类。参考文献<sup>[2]</sup>数据, 推断出该化合物的母核为  $\Delta^{12}$ -齐墩果酸。

另外, 碳信号  $\delta$  89.8 (C-3) 与  $\delta$  4.80 (1H, d,  $J = 7.2$  Hz, H-1') 远程相关, 因此推断齐墩果酸母核的 3 位与该糖 1 位以苷键相连接。结合  $^1\text{H}$ - $^1\text{H}$  COSY, 从该糖的 1 位出发, 顺次归属了该糖的其他氢信号:  $\delta$  4.80 (1H, d,  $J = 7.2$  Hz, H-1')  $\rightarrow$  4.29 (1H, m, H-2')  $\rightarrow$  4.27 (1H, m, H-3')  $\rightarrow$  4.23 (1H, m, H-4')  $\rightarrow$  3.90 (1H, m, H-5')  $\rightarrow$  4.50 (1H, d,  $J = 11.4, 4.4$  Hz, H-6'a), 4.37 (1H, d,  $J = 4.4$  Hz, H-6'b)。进一步, 通过 HSQC, 对该糖的碳信号进行了归属。结合酸水解, 确定该糖为  $\beta$ -葡萄糖, 即推出齐墩果酸母核的 3 位与一个葡萄糖的 1 位以苷键相连接。同样的方法, 碳信号  $\delta$  82.2 (3'-C) 与  $\delta$  5.32 (1H, d,  $J = 7.2$  Hz, H-1'') 相关;  $\delta$  176.9 (C-28) 与  $\delta$  6.28 (1H, d,  $J = 7.8$  Hz, H-1''') 相关, 结合  $^1\text{H}$ - $^1\text{H}$  COSY 和 HSQC, 推出两个葡萄糖以 1→3 相连, 齐墩果酸的羧基与葡萄糖醛酸的 1 位以酯苷键相连。化合物的波谱数据归属见表 1。

通过以上推断, 鉴定该化合物为 3-O- $\beta$ -D-吡喃葡萄糖 (1→3)-O-[ $\beta$ -D-吡喃葡萄糖]-齐墩果酸-28-O- $\beta$ -D-吡喃葡萄糖醛酸苷 (3-O- $\beta$ -D-glucopyranosyl (1→3)-O- [ $\beta$ -D-glucopyranosyl]-oleanolic acid-28-O- $\beta$ -D-glucuronopyranoside), 经文献检索未见报道, 为一新化合物 (图 1)。

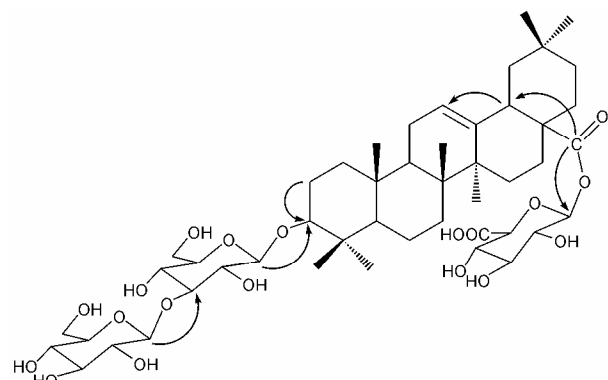


Figure 1 The structure and key HMBC correlations of compound 1

## 实验部分

### 1 仪器与材料

X41 型显微熔点测定仪 (温度未校正, 天津市分析仪器厂); JUM-ECA-400 超导核磁共振仪 (TMS 为内标, 日本电子); Advantage Max 型液相色谱-质谱联用仪 (美国 Thermo); Apex-Qe-FTMS (Bruker 公司)。AB-8 大孔树脂 (南开大学化工厂); Sephadex LH-20 (美国 Pharmacia 公司); 200~300 目和 60~100 目硅胶 (青岛海洋化工厂)。溶剂为分析纯, 北京化学试剂厂生产。

空心莲子草全草购于河北省祁新中药颗粒饮片有限公司, 经李彬副研究员 (军事医学科学院放射与辐射医学研究所, 生药学专业) 鉴定为苋科空心莲子草 [*Alternanthera philoxeroides* (Mart.) Griseb.], 标本现存放于本室。

### 2 提取分离

空心莲子草全草 10 kg, 用 90% 乙醇回流提取 2 次, 每次 2 h, 提取液合并浓缩成浸膏, 按照极性由小到大的顺序依次用石油醚、氯仿、乙酸乙酯、正丁醇萃取, 回收溶剂得到正丁醇部位浸膏 400 g。进一步用 AB-8 型大孔树脂, 乙醇-水梯度洗脱, 得到 95% 乙醇部位 38 g, 50% 乙醇部位 60 g, 然后反复运用硅胶柱色谱 (氯仿-甲醇系统洗脱)、Sephadex LH-20 凝胶柱色谱 (氯仿-甲醇、甲醇-水系统洗脱)、制备型薄层色谱、重结晶等技术对该部位进行了系统分离纯化, 从 50% 乙醇部位得到了化合物 1 (15 mg), 从 95% 乙醇部位得到了化合物 2 (134 mg)、化合物 3 (156 mg)、化合物 4 (16 mg)、化合物 5 (28 mg); 将样品用 2 mol·L<sup>-1</sup> 三氟醋酸封管, 100 °C 加热 5 h, 水液用纤维素薄层色谱展开 (乙酸乙酯-吡啶-乙酸-水 5:5:3:1), 苯胺-邻苯二甲酸溶液显色, 与标准糖对照, 证明该化合物中含有  $\beta$ -葡萄糖和  $\beta$ -葡萄糖醛酸。

**Table 1** NMR data and major correlations from HMBC of compound 1 in C<sub>5</sub>D<sub>5</sub>N

Position	$\delta_{\text{H}}$	$\delta_{\text{C}}$	HMBC	Position	$\delta_{\text{H}}$	$\delta_{\text{C}}$	HMBC
1	1.34 (m), 0.84 (m)	38.9		Glucose-1			
2	2.32 (m), 1.77 (m)	26.6	H-3	1'	4.80 (1H, d, $J = 7.2$ Hz)	105.1	H-3
3	3.20 (1H, dd, $J = 4.0, 14.0$ Hz)	89.8	H-1'	2'	4.29 (1H, m)	73.6	
4		39.8		3'	4.27 (1H, m)	82.2	
5	0.67 (m)	56.1		4'	4.23 (1H, m)	78.0	
6		18.7		5'	3.90 (1H, m)	78.5	
7	0.93 (m)	34.2		6'	4.50 (1H, dd, $J = 11.4, 4.4$ Hz)	62.9	
8		40.1			4.37 (1H, d, $J = 4.4$ Hz)		
9	1.43 (m), 1.44 (m)	48.2					
10	1.84 (m), 1.78 (m)	32.8		Glucose-2			
11	1.84 (m), 0.87 (m)	23.9		1''	5.32 (1H, $J = 7.2$ Hz)	105.6	H-3'
12	5.47 (1H, br s)	123.1		2''	4.05 (1H, m)	79.4	
13		144.4		3''	4.33 (1H, m)	76.4	
14		42.3	H-16	4''	4.21 (1H, m)	74.1	
15	2.30 (m), 1.28 (m)	28.4		5''	4.08 (1H, m)	76.9	
16	2.10 (m), 1.99 (m)	23.6		6''	4.45 (1H, dd, $J = 10.8, 4.4$ Hz)	62.3	
17	1.56 (m)	47.2	H-18		4.36 (1H, d, $J = 4.4$ Hz)		
18	3.18 (1H, dd, $J = 12.8, 4.0$ Hz)	42.0	H-12				
19	1.77 (m), 1.22 (m)	46.5		Glucuronic acid			
20		31.0		1'''	6.28 (1H, $J = 7.8$ Hz)	96.0	H-2'''
21	1.34 (m), 0.97 (m)	34.2		2'''	4.18 (1H, m)	71.8	
22	1.43 (m), 1.32 (m)	33.4		3'''	4.321 (1H, m)	78.8	
23	1.22 (s)	28.5		4'''	4.326 (1H, m)	71.2	
24	0.85 (s)	17.0	H-3	5'''	4.323 (1H, m)	78.0	
25	0.80 (s)	15.8		6'''		177.4	
26	0.89 (s)	17.7					
27	1.08 (s)	26.4					
28		176.9	H-1'''				
29	1.26 (s)	33.4					
30	1.01 (s)	23.9					

### 3 结构鉴定

化合物**1** 灰白色粉末, 熔点 249~251 °C; HR-ESI-MS (−)  $m/z$ : 955.491 62 [M-H]<sup>−</sup> (计算值为 955.490 80), 确定该化合物的分子式为 C<sub>48</sub>H<sub>76</sub>O<sub>19</sub>。具体波谱数据归属见表 1。

化合物**2** 白色粉末, mp: 264~267 °C; ESI-MS (+)  $m/z$ : 614 [M-H<sub>2</sub>O]<sup>+</sup>; 结合<sup>1</sup>H NMR 和<sup>13</sup>C NMR 谱, 推测分子式为 C<sub>36</sub>H<sub>56</sub>O<sub>9</sub>。<sup>1</sup>H NMR (C<sub>5</sub>D<sub>5</sub>N, 400 MHz)  $\delta$ : 5.45 (1H, t,  $J = 7.2$  Hz, H-12), 5.04 (1H, d,  $J = 7.6$  Hz, gluA-1), 4.72 (1H, d, gluA-5), 4.62 (1H, t, gluA-4), 4.34 (1H, t, gluA-3), 4.14 (1H, t, gluA-2), 3.40 (1H, dd,  $J = 16.0, 4.4$  Hz, H-3), 3.28 (1H, dd,  $J = 17.6, 4.0$  Hz, H-18), 0.79, 0.84, 0.94, 0.97, 0.99, 1.17, 1.20 (3H, s, 7×CH<sub>3</sub>)。<sup>13</sup>C NMR (C<sub>5</sub>D<sub>5</sub>N, 400 MHz)  $\delta$ : 38.4 (C-1), 26.5 (C-2), 88.8 (C-3), 39.4 (C-4), 55.5 (C-5), 18.3 (C-6), 33.8 (C-7), 39.5 (C-8), 47.8 (C-9), 36.7 (C-10), 24.2 (C-11), 123.1 (C-12), 144.6 (C-13), 41.7 (C-14),

28.1 (C-15), 23.6 (C-16), 46.5 (C-17), 41.9 (C-18), 46.2 (C-19), 31.6 (C-20), 33.1 (C-21), 33.0 (C-22), 28.0 (C-23), 16.8 (C-24), 15.3 (C-25), 17.2 (C-26), 26.0 (C-27), 180.0 (C-28), 30.8 (C-29), 23.6 (C-30), 107.2 (gluA-1), 75.4 (gluA-2), 78.0 (gluA-3), 73.3 (gluA-4), 77.8 (gluA-5), 172.7 (gluA-6)。以上波谱数据与文献<sup>[3]</sup>报道的齐墩果酸-3-O-β-D-吡喃葡萄糖醛酸苷数据一致, 因此鉴定该化合物为齐墩果酸-3-O-β-D-吡喃葡萄糖醛酸苷 (calenduloside E)。

化合物**3** 白色粉末, mp 214~216 °C; ESI-MS (+)  $m/z$ : 795 [M+H]<sup>+</sup>, 794 [M]<sup>+</sup>; 结合<sup>1</sup>H NMR 和<sup>13</sup>C NMR 谱, 推测分子式为 C<sub>42</sub>H<sub>66</sub>O<sub>14</sub>。<sup>1</sup>H NMR (DMSO-*d*<sub>6</sub>, 600 MHz)  $\delta$ : 5.24 (1H, d,  $J = 7.8$  Hz, glc-1), 5.13 (1H, t,  $J = 6.6$  Hz, H-12), 4.14 (1H, d,  $J = 7.8$  Hz, gluA-1), 3.40 (1H, dd,  $J = 6.0, 12.0$  Hz, H-3), 3.24 (1H, dd,  $J = 6.0, 12.0$  Hz, H-18), 0.70, 0.85, 0.87, 0.96, 1.08, 1.12, 1.15 (3H, s, 7×CH<sub>3</sub>)。<sup>13</sup>C NMR (DMSO-*d*<sub>6</sub>, 600 MHz)  $\delta$ :

38.7 (C-1), 25.4 (C-2), 87.8 (C-3), 38.7 (C-4), 55.0 (C-5), 17.7 (C-6), 32.2 (C-7), 38.9 (C-8), 47.0 (C-9), 36.2 (C-10), 22.9 (C-11), 121.6 (C-12), 143.4 (C-13), 41.2 (C-14), 27.1 (C-15), 22.5 (C-16), 45.9 (C-17), 40.7 (C-18), 45.5 (C-19), 30.2 (C-20), 33.2 (C-21), 31.5 (C-22), 27.6 (C-23), 16.4 (C-24), 15.2 (C-25), 16.6 (C-26), 25.4 (C-27), 175.1 (C-28), 32.7 (C-29), 23.3 (C-30), 105.3 (gluA-1), 73.9 (gluA-2), 74.1 (gluA-3), 72.1 (gluA-4), 76.6 (gluA-5), 173.7 (gluA-6), 94.0 (glc-1), 72.3 (glc-2), 76.7 (glc-3), 69.5 (glc-4), 77.7 (glc-5), 60.6 (glc-6)。以上波谱数据与文献<sup>[4]</sup>报道的竹节参皂苷IVa一致, 因此鉴定该化合物为竹节参皂苷IVa。

**化合物4** 浅黄色粉末, mp 181~184 °C, ESI-MS (+) *m/z*: 873 [M+Na]<sup>+</sup>, 868 [M+H<sub>2</sub>O]<sup>+</sup>; 结合<sup>1</sup>H NMR 和<sup>13</sup>C NMR 谱, 推测分子式为 C<sub>46</sub>H<sub>74</sub>O<sub>14</sub>。<sup>1</sup>H NMR (C<sub>5</sub>D<sub>5</sub>N, 400 MHz) δ: 6.27 (1H, d, *J* = 8.0 Hz, glc-1), 5.36 (1H, t, *J* = 7.2 Hz, H-12), 4.93 (1H, d, *J* = 7.2 Hz, gluA-1), 4.30 (2H, m, H-1'), 3.30 (1H, dd, *J* = 4.0, 11.2 Hz, H-3), 3.12 (1H, dd, *J* = 4.0, 13.6 Hz, H-18), 1.55 (2H, m, H-2'), 1.38 (2H, m, H-3'), 0.70 (3H, m, H-4')。<sup>13</sup>C NMR (C<sub>5</sub>D<sub>5</sub>N, 400 MHz) δ: 39.3 (C-1), 26.5 (C-2), 88.9 (C-3), 39.7 (C-4), 55.6 (C-5), 19.1 (C-6), 32.4 (C-7), 39.8 (C-8), 47.8 (C-9), 36.8 (C-10), 23.2 (C-11), 122.7 (C-12), 144.0 (C-13), 42.0 (C-14), 28.1 (C-15), 23.5 (C-16), 47.0 (C-17), 41.6 (C-18), 46.0 (C-19), 30.6 (C-20), 33.8 (C-21), 33.0 (C-22), 28.0 (C-23), 16.7 (C-24), 15.4 (C-25), 17.3 (C-26), 26.0 (C-27), 176.2 (C-28), 33.1 (C-29), 23.6 (C-30), 107.2 (gluA-1), 75.2 (gluA-2), 77.8 (gluA-3), 72.9 (gluA-4), 77.2 (gluA-5), 170.2 (gluA-6), 64.8 (C-1'), 29.8 (C-2'), 19.1 (C-3'), 13.6 (C-4'), 95.6 (glc-1), 72.9 (glc-2), 79.2 (glc-3), 70.9 (glc-4), 78.8 (glc-5), 62.0 (glc-6)。<sup>1</sup>H NMR 和<sup>13</sup>C NMR 数据与文献<sup>[5]</sup>报道的太白楤木皂苷IV一致, 故确定该化合物为 3-*O*-β-D-吡喃葡萄糖醛酸丁酯-齐墩果酸-28-*O*-β-D-吡喃葡萄糖苷(太白楤木皂苷IV)。

**化合物5** 白色粉末, mp 224~227 °C; ESI-MS (+) *m/z*: 648 [M]<sup>+</sup>, 结合<sup>1</sup>H NMR 和<sup>13</sup>C NMR 谱, 推测该化合物的分子式为 C<sub>36</sub>H<sub>56</sub>O<sub>10</sub>。<sup>1</sup>H NMR (DMSO-*d*<sub>6</sub>, 400 MHz) δ: 5.15 (1H, t, *J* = 7.2 Hz, H-12), 4.27 (1H, d, *J* = 8.0 Hz, gluA-1), 3.58 (1H, dd, *J* = 11.2, 4.0 Hz, H-3), 3.47 (1H, dd, *J* = 12.8, 4.0 Hz, H-18), 3.12 (2H, s, H-23), 0.55, 0.74, 0.92, 1.05, 1.13, 1.22 (3H, s, 7×CH<sub>3</sub>)。<sup>13</sup>C NMR (DMSO-*d*<sub>6</sub>, 400 MHz) δ: 38.9 (C-1), 25.6 (C-2), 82.2 (C-3), 43.5 (C-4), 47.1 (C-5), 18.2 (C-6), 33.4 (C-7), 39.7 (C-8), 47.1 (C-9), 36.0 (C-10), 23.4 (C-11), 121.5 (C-12), 143.9 (C-13), 42.3 (C-14), 27.2 (C-15), 23.4 (C-16), 46.1 (C-17), 41.4 (C-18), 45.8 (C-19), 30.4 (C-20), 33.4 (C-21), 33.4 (C-22), 62.6

(C-23), 13.0 (C-24), 16.9 (C-25), 17.3 (C-26), 25.6 (C-27), 178.8 (C-28), 33.4 (C-29), 23.4 (C-30), 102.3 (gluA-1), 73.7 (gluA-2), 78.0 (gluA-3), 72.7 (gluA-4), 76.5 (gluA-5), 173.3 (gluA-6)。<sup>1</sup>H NMR 和<sup>13</sup>C NMR 数据与文献<sup>[6]</sup>报道的 HN-saponins K 一致, 故确定该化合物为 HN-saponins K。

#### 4 体外抗 HBV 活性筛选

以 HepG2.2.15 细胞为模型, 对分离得到的单体化合物进行了抗 HBV 活性筛选。选取生长良好的细胞, 按照 6.0×10<sup>5</sup> 个/mL 将细胞悬浮液接种于 96 孔板中, 培养 1 天, 待细胞完全贴壁后, 加入不同浓度药物的培养液, 以不加药物的孔为空白对照组。培养 3 天后, 更换含相同浓度药物的培养液, 继续培养 3 天。收集第 7 天细胞上清液, 用试剂盒检测 HBsAg、HBeAg 和细胞存活率, 通过 Oringin 软件对数据进行统计处理。

结果, 通过对分离得到的 5 个三萜皂苷类化合物进行抗 HBV 的筛选, 发现化合物 2 的 CC<sub>50</sub> ≈ 500 μg·mL<sup>-1</sup>, 化合物 4 的 CC<sub>50</sub> 为 6.21 μg·mL<sup>-1</sup>, 化合物 5 的 CC<sub>50</sub> 为 85.43 μg·mL<sup>-1</sup>, 它们均表现出非常大的细胞毒性, 并且在无毒浓度下未见有对 HBV 的抑制作用。化合物 1 和 3 无细胞毒性, 但也未表现出对 HBV 的抑制作用。

因此, 还需继续对空心莲子草的化学成分进行进一步的研究, 以求能够找到其发挥抗病毒作用的有效单体化合物。

#### References

- [1] Jiangxi University of Traditional Chinese Medicine. Dictionary of Chinese Materia Medica (中药大辞典. 上册) [M]. Shanghai: Shanghai People Publisher, 1977: 1470.
- [2] Toshio M, Akira U. Aralia saponins I-XI, triterpenoid saponins from the roots of *Aralia Deelsneana* [J]. Phytochemistry, 1996, 41: 1411~1418.
- [3] Lavaud C, Voutquenne L, Bal P, et al. Saponins from *Chenopodium album* [J]. Fitoterapia, 2000, 71: 338~340.
- [4] Yang PQ, Si YQ, Pang Q, et al. Studies on the chemical constituents of *Hem-sleya pengxianensis* [J]. China J Chin Mater Med (中国中药杂志), 1995, 20: 551~553.
- [5] Tang HF, Wang ZZ, Fan YX, et al. Two new oleanolic acid saponins from the root bark of *Aralia taibaiensis* [J]. J Chin Pharm Sci, 1997, 32: 78~80.
- [6] Kizu H, Kitayama S, Nakatani F, et al. Studies on nepalese crude drugs. III. On the saponins of *Hedera nepalensis* K. Koch [J]. Chem Pharm Bull, 1985, 33: 3324~3329.